

ИНЖЕКЦИОННАЯ, ЭЛЕКТРОПОЛЕВАЯ И ТЕРМИЧЕСКАЯ ПЕРЕСТРОЙКА РАДИАЦИОННЫХ ДЕФЕКТОВ В *p*-КРЕМНИИ

Кучинский П. В., Ломако В. М., Петрунин А. П.

Исследованы перестройка и стабильность радиационных дефектов с энергетическими уровнями $E_c = -0.14$, $E_v = +0.29$, $E_v = +0.35$ и $E_v = +0.38$ эВ в *p*-кремнии при инжекционных, электрополевых и термических воздействиях. Показано, что диссоциация инжекционно-отжигающегося дефекта с энергетическим уровнем $E_c = -0.14$ эВ, образующегося при высокой скорости генерации первичных дефектов, приводит к увеличению концентрации междуузельного углерода ($E_r = -0.29$ эВ), который при термическом отжиге идет на образование комплексов C_i-O или C_i-O_2 с уровнем $E_v = +0.38$ эВ. Последний при дальнейшем нагревании изменяет конфигурацию и дает энергетический уровень $E_v = +0.35$ эВ. Предполагается, что инжекционно-отжигающийся дефект является двойным или расщепленным междуузлием кремния либо комплексом Si_i-C_i .

В работе [1] проанализирован энергетический спектр радиационных дефектов (РД), вводимых альфа-облучением в *p*-кремний при 300 К в отсутствие электрического поля. В [2, 3] было установлено, что при облучении альфа-частицами *p*-кремния вводится инжекционно-отжигающийся дефект с энергетическим уровнем $E_c = -0.14$ эВ (*H*5), эффективность введения которого в сильном электрическом поле ($E > 10^3$ В/см) зависит от температуры облучения. При 300 К в поле дефект *H*5 не вводится, а при 78 К эффективность его введения в поле и вне его одинакова. Инжекция электронов при указанных температурах приводит к исчезновению дефекта *H*5. Отмечалось, что дефект *H*5 вводится только при облучении альфа-частицами, когда имеется высокая скорость генерации первичных РД ($\sim 10^5$ см $^{-1}$), и предполагалось, что в его состав входят междуузельные атомы. В работах [4, 5] на основании ЭПР исследований было показано, что высокая скорость генерации первичных РД может приводить к образованию двойного либо расщепленного междуузельного комплекса.

Цель данной работы — установление закономерностей перестроек в энергетическом спектре РД ($E_c = -0.14$, $E_v = +0.29$, $E_v = +0.35$, $E_v = +0.38$ эВ) и эффективности их образования в *p*-кремнии, облученном альфа-частицами, при инжекционных, электрополевых и термических воздействиях.

Измерения проводились на $n^+ - p$ -переходах, изготовленных диффузией фосфора при 1100 °С на глубину 3 мкм в пластине тянутого *p*-кремния, легированного бором ($\rho = 10$ Ом·см). Образцы облучались со стороны n^+ -области альфа-частицами изотопного источника ^{210}Po ($E_c = 4.7$ МэВ, $I = (3 \div 5) \cdot 10^7$ см $^{-2} \cdot \text{с}^{-1}$, $\Phi = 7 \cdot 10^{10}$ см $^{-3}$), длина пробега которых в кремнии составляет ~ 20 мкм, а скорость генерации первичных смещений $\sim 10^5$ см $^{-1}$. Облучение проводилось в двух режимах: без смещения (без поля) и при напряжении обратного смещения 15 В (в поле) в интервале температур 78—400 К.

Положение энергетических уровней РД, их концентрация и сечения захвата основных носителей заряда определялись методом термоэмиссионной емкостной спектроскопии при напряжении обратного смещения 7 В. Такое напряжение обеспечивало зондирование базовой области, в которой при облучении $E > 10^3$ В/см. Так как дефект *H*5 при инжекции отжигается, его концентрация и энергетическое положение рассчитывались из концентрационных профилей электрически активных центров [2].

Установлено, что эффективность введения дефекта с энергетическим уровнем $E_c + 0.29$ эВ ($H2$) в поле и без него одинакова, а с $E_c + 0.38$ эВ ($H6$) — в поле выше (рис. 1). Инжекция электронов после облучения без поля приводит к двухкратному увеличению концентрации дефекта $H2$, а концентрация дефекта $H6$ не изменяется. Инжекция электронов после облучения в поле не вызывает изменения их концентраций.

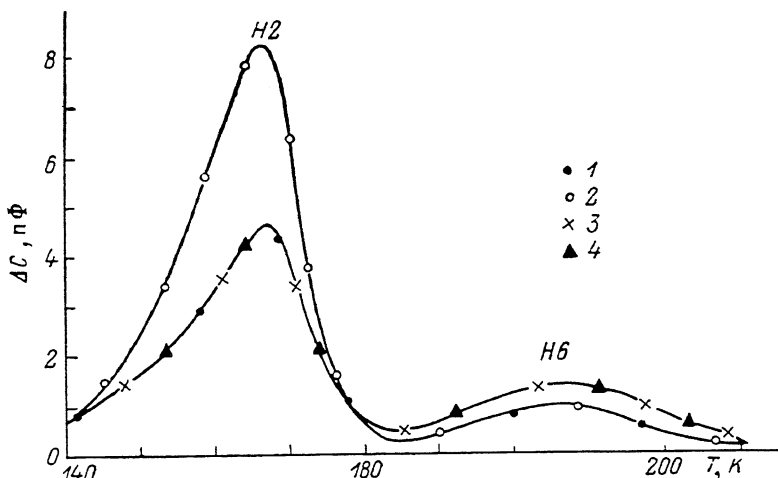


Рис. 1. Энергетический спектр дефектов $H2$, $H6$ в p -кремнии (временное окно 2 мс) после облучения без поля (1) и в поле (3) при 300 К и последующей инжекции электронов ($J = 0.5$ А/см²) (2, 4 соответственно).

В случае облучения при 78 К в поле и без поля дефекты $H2$ и $H6$ не вводятся. Облучение при 78 К и последующая инжекция при той же температуре приводят к появлению этих дефектов, однако их концентрация существенно меньше, чем в случае облучения при 300 К.

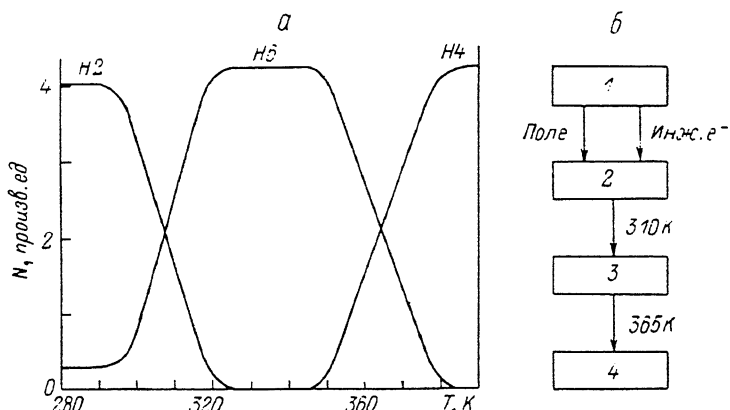


Рис. 2. Изохронный отжиг дефектов $H2$, $H6$, $H4$ после облучения без поля и инжекции электронов (а) и схема перестройки дефектов $H5$, $H2$, $H6$, $H4$ (б).

1 — $E_c - 0.14$, 2 — $E_c + 0.29$, 3 — $E_c + 0.38$, 4 — $E_c + 0.35$ эВ.

На рис. 2, а представлены результаты исследования изохронного отжига дефектов $H2$ и $H6$ в образцах, облученных при 290 К без поля и последующей инжекцией электронов. Видно, что отжиг дефекта $H2$ в интервале температур 290—320 К приводит к возрастанию концентрации дефекта $H6$. При дальнейшем увеличении температуры дефект $H6$ исчезает и появляется дефект с энергетическим уровнем $E_c + 0.35$ эВ ($H4$). Заметим, что дефект $H2$ практически полностью перестраивается в $H6$, а последний — в $H4$, устойчивый до 580 К [1].

Исследование влияния температуры на эффективность образования инжекционно-отжигающегося дефекта $H5$ показало, что в поле дефект перестает эф-

фективно вводиться при $T > 200$ К, в то время как без поля — при $T > 300$ К (рис. 3). В случае облучения без поля при 78 К скорость его введения практически такая же, как и при 300 К. Было также установлено, что после облучения в интервале температур 78—300 К без поля наложение поля при 300 К приводит к уменьшению концентрации дефекта H_5 и возрастанию H_2 . Наложение поля при 78 К не приводит к изменению его концентрации.

Таким образом, из анализа влияния электрического поля и инжекции электронов на дефекты H_5 , H_2 и H_6 видно, что исчезновение дефекта H_5 приводит к увеличению концентрации дефекта H_2 . В дальнейшем при отжиге дефект H_2 вначале перестраивается в H_6 (290—320 К), а затем — в H_4 (350—380 К) (рис. 2, б).

В процессе термического отжига в [6] наблюдали перестройку H_2 в H_6 , а в [1] — H_2 в H_4 . Заметим, что, согласно рис. 2, можно наблюдать перестройку

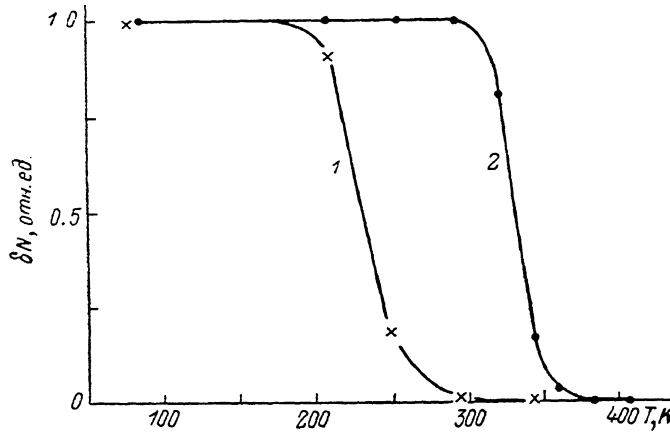


Рис. 3. Относительное изменение скорости введения дефектов H_5 при облучении в поле (1) и без поля (2) в зависимости от температуры облучения ($T_{\text{взм}} = 300$ К).

H_2 сразу в H_4 , если вести отжиг с большим температурным шагом, что и имело место в работе [1].

Относительно природы дефекта H_2 существует предположение, что это междоузельный углерод [7, 8]. Относительно природы дефектов H_6 и H_4 высказывается несколько точек зрения: С—О—В (W) [7, 9], С_i—С_i [8], С_i—Si_i—C_i [10] и С—О [1]. В [7] было показано, что эффективность образования дефекта H_4 падает с уменьшением концентрации кислорода и углерода. Если считать, что дефект H_2 — междоузельный углерод, то в интервале температур 290—320 К он становится подвижным и идет на образование комплексов С_i—O_i или C_i—O_i с энергетическим уровнем $E_i + 0,38$ эВ (H_6). В интервале температур 350—390 К этот комплекс изменяет конфигурацию и дает энергетический уровень $E_i - 0,35$ эВ (H_4), что и подтверждается равенством суммы их концентраций во всем интервале перестройки (рис. 2). Однако если проводить отжиг без предварительной инжекции электронов после облучения при 300 К без поля, то концентрация дефекта H_4 равна сумме первоначальных концентраций дефектов H_2 , H_5 и H_6 . В случае облучения в поле концентрация дефекта H_4 , образующегося при отжиге, равна сумме первоначальных концентраций дефектов H_2 и H_6 . Облучение же при 380 К без поля, когда дефект H_5 не наблюдается (как и при облучении при 300 К в поле), приводит к введению дефекта H_4 в концентрации, более высокой, чем в предыдущем случае. Таким образом, дефект H_5 при облучении в поле при 300 К не образуется и его компоненты не идут на образование дефекта H_2 .

С учетом того, что эффективность образования дефекта H_5 с понижением температуры облучения не падает и он образуется только при высокой скорости генерации первичных РД, можно предположить, что дефект H_5 вводится прямым путем и является либо двойным или расщепленным междоузлием кремния,

либо расщепленным междоузельным комплексом Si_i-C_i . Действительно, как отмечалось в [5], центры, отвечающие модели двойного либо расщепленного междоузлия, возникают только тогда, когда имеет место высокая скорость генерации первичных РД, причем в состав указанных центров могут входить и примесные атомы.

В настоящее время в литературе используются модели конфигурационных перестроек дефектов в полупроводниках при инжекционно-термических воздействиях. Отмечается активная роль примесей, в частности углерода, в формировании метастабильных комплексов в кремнии [11, 12]. В связи с этим можно предположить, что наложение электрического поля при 300 К после облучения без поля приводит к изменению конфигурации дефекта $H5$ и его распаду. Освободившиеся компоненты дефекта $H5$ вытесняют углерод замещения с образованием дефектов $H2$ и $H6$, если он — двойное или расщепленное междоузлие кремния. Если дефект $H5$ является комплексом Si_i-C_i , то одна из его компонент идет непосредственно на образование дефектов $H2, H6$. При наложении поля при 78 К его энергии уже недостаточно, чтобы вызвать распад междоузельного комплекса. Инжекция электронов после облучения без поля вызывает изменение зарядового состояния междоузельного комплекса и его распад, о чем может свидетельствовать отсутствие данного центра в n -кремнии. В случае облучения в поле при $T > 200$ К последнее, вероятнее всего, препятствует образованию указанных комплексов.

Таким образом, при высокой скорости генерации первичных РД в p -кремнии образуется инжекционно-отжигающийся дефект с энергетическим уровнем $E_c - 0.14$ эВ, который может быть двойным или расщепленным междоузлием кремния либо комплексом Si_i-C_i . Инжекция электронов или выдержка в поле приводит к распаду двойного междоузлия и появлению междоузельного углерода, дающего энергетический уровень $E_c + 0.29$ эВ, который при термическом отжиге идет на образование комплекса C_i-O_s или C_i-O , с уровнем $E_c - 0.38$ эВ. Последний при дальнейшем нагревании изменяет конфигурацию и дает энергетический уровень $E_c + 0.35$ эВ. В данной конфигурации этот комплекс устойчив до 580 К. Инжекционно-отжигающийся дефект перестает эффективно вводиться в электрическое поле, если температура облучения $T > 200$ К.

Список литературы

- [1] Губская В. И., Кучинский П. В., Ломако В. М. // ФТП. 1986. Т. 20. В. 6. С. 1055—1059.
- [2] Кучинский П. В., Ломако В. М., Петрунин А. П. // Письма ЖТФ. 1985. Т. 8. В. 5. С. 309—311.
- [3] Кучинский П. В., Ломако В. М., Петрунин А. П. // ФТП. 1986. Т. 20. В. 4. С. 740—742.
- [4] Lee Y. H., Cerasimenko N. N., Corbett J. W. // Phys. Rev. B. 1976. V. 14. N. 10. P. 4506—4520.
- [5] Герасименко Н. Н. // Тр. II Советско-Американского семинара по ионной имплантации. Новосибирск, 1979. С. 351—370.
- [6] Londos C. A. // Phys. St. Sol. (a). 1985. V. 92. N. 2. P. 609—614.
- [7] Lee Y. H., Corbett J. W., Brower K. L. // Phys. St. Sol. (a). 1977. V. 41. N. 2. P. 637—647.
- [8] Kimerling L. C. // Int. Conf. «Radiation Effects on Semiconductors-1976». Conf. Ser. N 31. London—Bristol, 1977. P. 221—230.
- [9] Mooney P. M., Cheng L. J., Sult M., Gerson J. D., Corbett L. W. // Phys. Rev. B. 1977. V. 15. N. 8. P. 3836—3843.
- [10] Bains S. K., Banbury P. C. // Sol. St. Phys. 1985. V. 18. N. 1. P. L109—L116.
- [11] Chantre A., Kimerling L. C. // Appl. Phys. Lett. 1986. V. 48 (15). N. 10. P. 1000—1002.
- [12] Asom M. T., Benton J. L., Sauer R., Kimerling L. C. // Appl. Phys. Lett. 1987. V. 51 (4). N. 3. P. 256—258.

Научно-исследовательский институт
прикладных физических проблем
им. А. Н. Севченко
БГУ им. В. И. Ленина
Минск

Получена 8.06.1988
Принята к печати 15.05.1989